

多级逐步判别在台风路径预报中的应用

李麦村 姚棣荣 杨自强

(中国科学院大气物理研究所) (杭州大学地理系) (上海计算技术研究所)

台风是我国东南沿海重要的灾害性天气之一。广大气象台站在作台风路径预报中往往采用逐步回归分析^[1]，在应用判别分析中也仅采用两级判别。为了进一步提高台风预报的精确度，我们应用了多级判别的方法，并且在因子的筛选上采用了两段筛选法。逐步判别分析是近几年才发展起来的^{*[2,3]}，在天气预报中尚未得到应用。我们在应用这一方法作台风路径预报中收到了较好的效果。

一、预报因子的初选

我们取 1958—1965 年 7, 8, 9 三个月，进入预报区域的 100 个样本的台风作为基本资料^[4]，选取 43 个预报因子。并把台风分成三类：在汕头以南登陆、汕头以北登陆和海上转向的，分别以 I, II, III 表示。每类样本数分别为 $n_1 = 38$, $n_2 = 29$, $n_3 = 33$ ，总样本数 $N = n_1 + n_2 + n_3$ 。

根据多级判别分析的原理，我们按下式作为初选因子的原则：

$$I_i = \frac{\sum_{g=1}^G ng(\bar{x}_{ig} - \bar{x}_{i...})^2}{\sum_{g=1}^G \sum_{k=1}^{ng} (x_{igk} - \bar{x}_{ig})^2} \quad (i = 1, \dots, p), \quad (1)$$

式中

$$\bar{x}_{ig} = \frac{\sum_{k=1}^{ng} x_{igk}}{ng} \quad (i = 1, \dots, P, g = 1, \dots, G),$$

$$\bar{x}_{i...} = \frac{\sum_{g=1}^G \sum_{k=1}^{ng} x_{igk}}{N}, \quad i = 1, \dots, P.$$

按(1)式计算，取 I_i 最大的作为初选的因子。我们从 43 个预报因子中经初选得到 20 个(见文末附表)。

为了适宜大量的计算，我们^[5]又采用如下伪变量来计算 I_i ：

$$(x_{igk} - x_{ig}) = \begin{cases} 1, & \text{当 } x_{igk} - \bar{x}_{ig} > 0, \\ 0, & x_{igk} - \bar{x}_{ig} = 0, \\ -1, & x_{igk} - \bar{x}_{ig} < 0. \end{cases} \quad (2)$$

这样，对 I_i 的计算就大大简化了。同样，从 43 个预报因子中初选出 20 个(见附表)。

二、逐步判别精选因子

与逐步回归的思路类似，我们采用逐步判别函数。详细的计算过程和程序参阅资料[2, 3]。经过计算，由上述两个方案初选的 20 个因子进行三级逐步判别精选所得的判别函数是一致的(所选进因子的 F 值见附表)。

$$d_1 = -82.766 + 7.630x_2 + 0.013x_6 + 0.658x_{11} - 0.474x_{13} - 0.227x_{23} + 0.163x_{25},$$

$$d_2 = -72.584 + 6.986x_2 + 0.004x_6 + 0.808x_{11} - 0.655x_{13} - 0.623x_{23} + 0.046x_{25},$$

$$d_3 = -107.021 + 8.785x_2 + 0.004x_6 + 1.150x_{11} - 0.405x_{13} - 0.700x_{23} - 0.112x_{25}$$

($F_1 = F_2 = 3.0$).

本文 1976 年 3 月 15 日收到。

* 具体方法可参见杨自强：判别分析与逐步判别一文(1975 年全国概率统计会议资料)。

对样本的分类(等概率情况下)见表 1.

表 1

计算 \ 实况	实况			合计
	I	II	III	
I	30	2	0	32
II	7	26	1	34
III	1	1	32	34
合计	38	29	33	100

同时,对局部的判别效果和全部的判别效果采用 Mahalanobis 距离 D^2 和 Wilks 量 A 进行显著性检验,其结果如表 2.

表 2

Mahalanobis 距离			Wilks 量	
D^2			A	
II-I	III-I	III-II		
3.94	8.83	10.62	0.20	
F(6.92)			F(12.184)	$\chi^2(12)$
10.24	24.64	25.91	18.73	152.46
$F_{0.01}(6.92)$			$F_{0.01}(12.184)$	$\chi^2_{0.01}(12)$
3.03			2.27	26.22

结果表明,这一判别效果是相当显著的.另外,我们采用同样的初选得到的因子,进行两级逐步判别,即台风登陆或海上转向,以 I, II 表示,此时两类的样本数分别为 $n_1 = 67$, $n_2 = 33$. 由此所得的判别函数 ($F_1 = F_2 = 3.0$) 和对样本的分类分别(不等概率情况下)如表 3, 4.

(1) 原始初选方案

$$d_1 = -1725.92 + 28.00x_1 - 7.18x_4 + 0.23x_{11} + 0.72x_{18} - 2.66x_{23} - 1.69x_{25},$$

表 3

计算 \ 实况	实况			合计
	I	II	III	
I	64	1		65
II	3	32		35
合计	67	33		100

$$d_2 = -1805.97 + 28.36x_1 - 6.11x_4 + 0.62x_{11} + 0.81x_{18} - 3.04x_{23} - 1.94x_{25}.$$

(2) 简化初选方案

$$d_1 = -1999.69 + 32.26x_1 - 7.15x_4 + 0.29x_{11} + 0.88x_{18} - 3.28x_{23} - 3.11x_{25} - 0.32x_{29} + 2.04x_{35},$$

$$d_2 = -2109.15 + 32.84x_1 - 6.07x_4 + 0.69x_{11} + 0.98x_{18} - 3.68x_{23} - 3.44x_{25} - 0.34x_{29} + 2.13x_{35}.$$

表 4

计算 \ 实况	实况		
	I	II	合计
I	66	1	67
II	1	32	33
合计	67	33	100

对二级情况也经过判别效果显著性检验,表明它们的判别也是相当有效的.

三、试报结果

我们应用上述方案,对 1975 年进入预报区域(即图 1 梯形框区域)的 3 号、4 号、7 号和 11 号台风共作了 12 次预报. 预报结果表明,不论是原始方案,还是简化方案;也不论是二

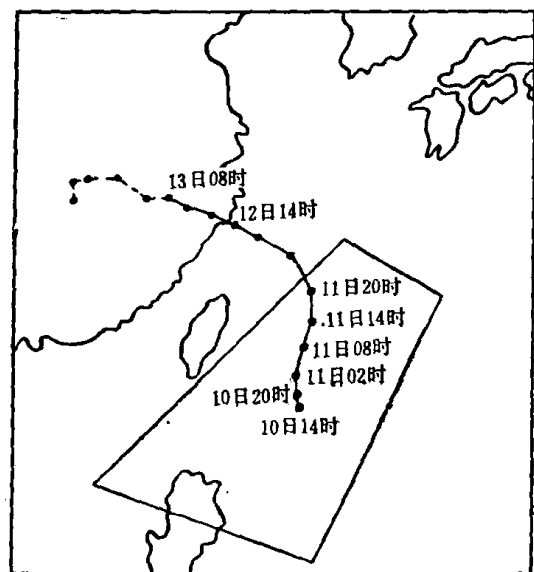


图 1 1975 年 4 号台风路径图 (圆点为不同时刻台风位置,梯形框为本模式起报区)

级判别,还是三级判别,结果是一致的,其预报准确率都为 $\frac{11}{12} = 92\%$ 。试报具体结果如表 5 和表 6。

表 5 两级判别分类表

计算 \ 实况	登 陆	转 向	合 计
登 陆	8	0	8
转 向	1	3	4
合 计	9	3	12

表 6 三级判别分类表

计算 \ 实况	北 登	南 登	转 向	合 计
北 登	8	0	0	8
南 登	0	0	0	0
转 向	1	0	3	4
合 计	9	0	3	12

这里需要特别提出的是对 4 号台风的预报。4 号台风的路径比较特殊,在 8 月 10 日 14 时中央气象台开始编号,此时便开始向西北方向移动,到 11 日 02 时以后改为向东北方向移动,到 11 日 20 时以后忽然又折向西北方向前进,最后在浙江温岭登陆(图 1)。由于在一段不长的时间中,台风移动方向反复改变,所以一些台站预报结果较差。但用此法在 10 日 08 时、10 日 20 时和 11 日 08 时,分别对这次台风移动作了三次预报。无论是二级判别还是三级判别,三次计算结果都是预报在汕头以北登陆,与实况符合。特别是在 11 日 08 时那次计算,虽然此时台风已经转向东北方向,似乎要在海上转向北上,一些台站错报也就在于一时受了这种暂时现象所迷惑。而我们的计算结果,仍预报登陆。这说明本文所提供的方法在预报台风路径中是相当有效的。

四、结 论

通过以上讨论可以得到以下几点结论:

1. 本文针对大量资料对台风路径进行多级逐步判别分析,结果令人满意。一方面进入预报方程的因子数目不多,另一方面预报方程的历史拟合率三级判别达 90% 左右,而二级判别达 98%。在 1975 年预报实践中,共作 12 次预报,仅错报一次,准确率都达 92%。这说明近年来,按数理统计发展起来的逐步判别方法,在台风路径这样一类天气预报中是一种行之有效的方法;也说明两段筛选这种方法能选出主要的、本质的因子。事实上,本文提出的预报方程中的那些因子,都反映了台风本身位置、副热带高压结构及台风周围引导气流的特征,都有一定的天气物理意义。

2. 三种初选因子方案中,以人为初选效果最差*。这表明客观、定量而简便的初选方法是很必要的。简易判别初选效果也很好。这种方法简便,适于大量计算和广大气象台站使用。关于简易判别,将另文讨论。

3. 与资料[4]相比,本文提供方法在下列两方面有所改进:首先不需要利用因子作点聚图和计算条件概率,而是单因子直接进入方程。其次,我们在预报方程中,略去了本身需要事先估计的台风中心后 12 小时位置作为预报因子。这对预报方程的稳定性和使用上都有一定的好处。

参 考 资 料

- [1] Jarrell, J. D., Mauck, C. J. & Renard. *Mon. Wea. Rev.*, D 103(1975), 674-684.
- [2] Afifi, A. A., Azen, S. P., *Statistical Analysis: A Computer Oriented Approach*, Chap. 5, Academic press, New York and London, 1972.
- [3] Dixon, W. J., *BMD. Biomedical Computer programs*, University of California Press, London, 1973.
- [4] 刘韵清、姚稼荣、祝启恒、金一鸣,数值预报和数理统计预报会议文集,科学出版社,1974, 160-170.
- [5] 李麦村,近代气象学若干问题的进展,科学出版社, 1975, 46-74.

* 人为初选因子,三级判别历史拟合率为 85%,二级判别为 91%。

附表 预报因子初选、精选表 (表中有 F 值的表示已入选的因子)

精选 人为初选		二级判别	三级判别	精选 原始初选		二级判别	三级判别	精选 简化初选		二级判别	三级判别
序号	代号	引入的 F		序号	代号	引入的 F		序号	代号	引入的 F	
x_1	λ_0		4.32	x_1	λ_0	3.80		x_1	λ_0	7.14	
x_2	φ_0		47.92	x_2	φ_0		47.92	x_2	φ_0		47.92
x_4	φ_{12}	72.33	4.90	x_3	λ_{12}			x_4	φ_{12}	72.33	
x_7	"上海			x_4	φ_{12}	72.33		x_5	$\varphi_0 + \Delta\varphi_{24}$		
x_8	$v_{\text{上海}}$	4.53	5.04	x_5	$\varphi_0 + \Delta\varphi_2$			x_6	ξ_G		5.80
x_9	"大陈	11.51	7.88	x_6	ξ_G		5.80	x_7	"上海		
x_{10}	$v_{\text{大陈}}$			x_7	"上海			x_{11}	"福州	32.74	17.50
x_{12}	$v_{\text{汕头}}$			x_{10}	$v_{\text{大陈}}$			x_{13}	" g_1 "		4.70
x_{13}	" g_1 "		5.47	x_{11}	"福州	32.74	17.50	x_{15}	G_{02}		
x_{15}	G_{02}			x_{13}	" g_1 "		4.70	x_{17}	$\Delta\varphi_{588}$		
x_{16}	$G_{0\varphi}$		6.37	x_{14}	v_{g1}			x_{18}	λ_{588}^{φ}	6.62	
x_{17}	$\Delta\varphi_{588}$			x_{16}	$G_{0\varphi}$			x_{19}	" g_2 "		
x_{18}	λ_{588}^{φ}			x_{17}	$\Delta\varphi_{588}$			x_{23}	$\Delta(OT)_2$	7.77	10.48
x_{19}	" g_2 "	9.69		x_{18}	λ_{588}^{φ}	6.62		x_{24}	ξ_{25}		
x_{20}	" T "		3.65	x_{19}	" g_2 "			x_{25}	ξ_{44}	8.65	9.52
x_{21}	v_T			x_{23}	$\Delta(OT)_2$	7.77	10.48	x_{26}	$\xi_{\text{貝}}$		
x_{23}	$\Delta(OT)_2$	6.47	7.57	x_{25}	ξ_{44}	8.65	9.52	x_{29}	$\pm \Delta H_{44} ^2$	3.12	
x_{24}	ξ_{25}			x_{27}	H_{81}			x_{30}	$\pm \Delta H_{50} ^2$		
x_{26}	H_{36}			x_{29}	H_{102}			x_{33}	$\pm \Delta H_{72} ^2$		
x_{32}	H_{96}			x_{40}	H_{105}			x_{35}	$\pm \Delta H_{104} ^2$	3.99	

表中因子的意义: ξ_{44} 为日本海附近的涡度, H_{105} 为第 105 点 500 mb 高度, $\xi_{\text{貝}}$ 为贝加尔湖附近的涡度, $\pm |\Delta H_{72}|^2$ 为第 72 点 24 小时变高的绝对值平方, 其它因子的意义参看资料 [4] 中说明。